

EL NIÑO/OSCILACIÓN DEL SUR (ENSO, por sus siglas en inglés) DISCUSIÓN DIAGNÓSTICA

emitida por el

CENTRO DE PREDICCIONES CLIMÁTICAS/NCEP/NWS
Traducción cortesía del: NWS-WFO SAN JUAN, PUERTO RICO
13 de julio de 2023

Estatus del Sistema de alerta del ENSO: Advertencia de El Niño

Sinopsis: Existe una probabilidad de sobre 90% de que El Niño continúe durante el invierno del hemisferio norte.

En junio, un El Niño débil se asoció con temperaturas de la superficie del mar (SST, por sus siglas en inglés) por encima del promedio en el Océano Pacífico ecuatorial (Fig. 1). Casi todos los índices semanales de El Niño estuvieron en o por encima de $+1.0^{\circ}\text{C}$: Niño-3.4 fue $+1.0^{\circ}\text{C}$, Niño-3 fue $+1.5^{\circ}\text{C}$ y Niño1+2 fue $+3.3^{\circ}\text{C}$ (Fig. 2). Las anomalías de las temperaturas de la subsuperficie en un área promediada aumentaron en comparación con mayo (Fig. 3), con anomalías positivas por debajo de la superficie del Océano Pacífico ecuatorial (Fig. 4). En contraste, las anomalías atmosféricas tropicales fueron más débiles en comparación con las anomalías oceánicas. Para el promedio mensual de junio, los vientos en los niveles bajos estuvieron cerca del promedio en la mayor parte del Pacífico ecuatorial. Las anomalías de los vientos en los niveles altos estuvieron del este sobre el oeste del Pacífico y del oeste sobre el este del Pacífico. La convección y la lluvia aumentaron alrededor de la línea internacional de cambio de fecha y se suprimieron débilmente cerca de Indonesia (Fig. 5). El SOI ecuatorial se mantuvo negativo (0.5 desviaciones estándar por debajo del promedio), mientras que el SOI tradicional basado en estaciones estuvo cerca de cero. Colectivamente, el sistema acoplado océano-atmósfera reflejó un El Niño débil.

Los pronósticos de IRI más recientes indican que El Niño persistirá durante el invierno del hemisferio norte de 2023-24 (Fig. 6). Los pronosticadores favorecen el crecimiento continuo de El Niño durante el otoño, alcanzando su punto máximo este invierno con una intensidad de moderada a fuerte ([81% de probabilidad de Niño-3.4 \$\geq 1.0^{\circ}\text{C}\$ en noviembre-enero](#)). Un evento que se vuelve “históricamente fuerte” (Niño-3.4 $\geq 2.0^{\circ}\text{C}$ promedio estacional), compitiendo con los inviernos de 1997-98 o 2015-16, tiene una probabilidad de aproximadamente de 1 en 5. En resumen, existe una probabilidad de sobre 90% de que El Niño continúe durante el invierno del hemisferio norte (Fig. 7).

Esta discusión es un esfuerzo consolidado de la Administración Nacional Oceánica y Atmosférica (NOAA, por sus siglas en inglés), el Servicio Nacional de Meteorología de NOAA y sus instituciones afiliadas. Las condiciones oceánicas y atmosféricas son actualizadas semanalmente en la página de internet del Centro de Predicciones Climáticas ([Condiciones actuales de El Niño/La Niña y La Discusión de Expertos](#)). Perspectivas y análisis adicionales están disponibles en el [blog del ENSO](#). Un pronóstico de intensidad probabilística está [disponible aquí](#). La próxima Discusión Diagnóstica del ENSO está programada para el 10 de agosto de 2023. Para recibir una notificación por correo electrónico al momento en que la

Discusión Diagnóstica del ENSO mensual esté disponible, favor enviar un mensaje a: ncep.list.ens0-update@noaa.gov.

Centro de Predicciones Climáticas
Centros Nacionales de Predicción Ambiental
NOAA/Servicio Nacional de Meteorología
College Park, MD 20740

SST Anomalies (°C)

05 JUL 2023

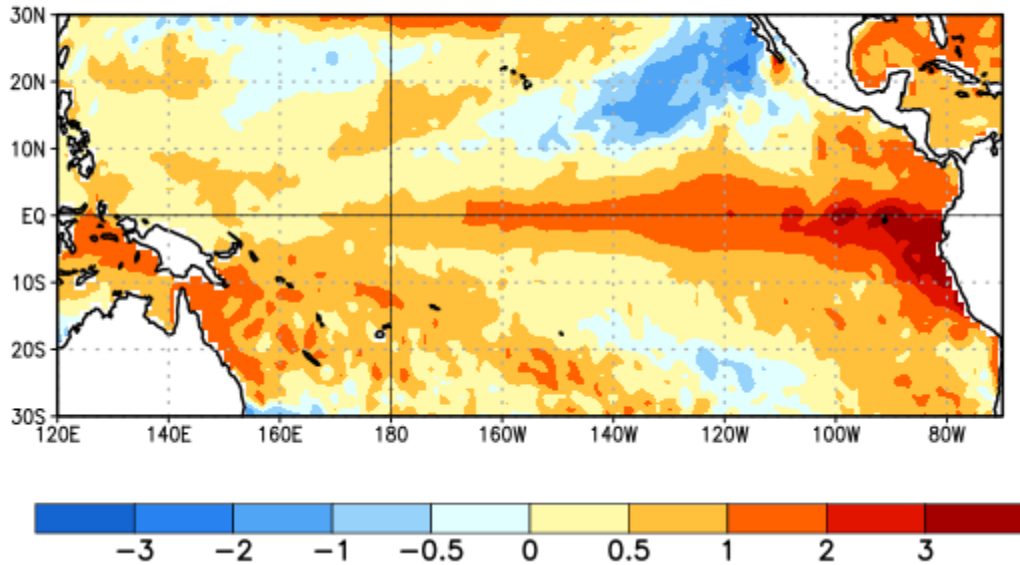


Figura 1. Anomalías (°C) promedio de la temperatura de la superficie del océano (SST, por sus siglas en inglés) para la semana centrada el 5 de julio de 2023. Las anomalías son calculadas utilizando como referencia los periodos promedio semanales de 1991-2020.

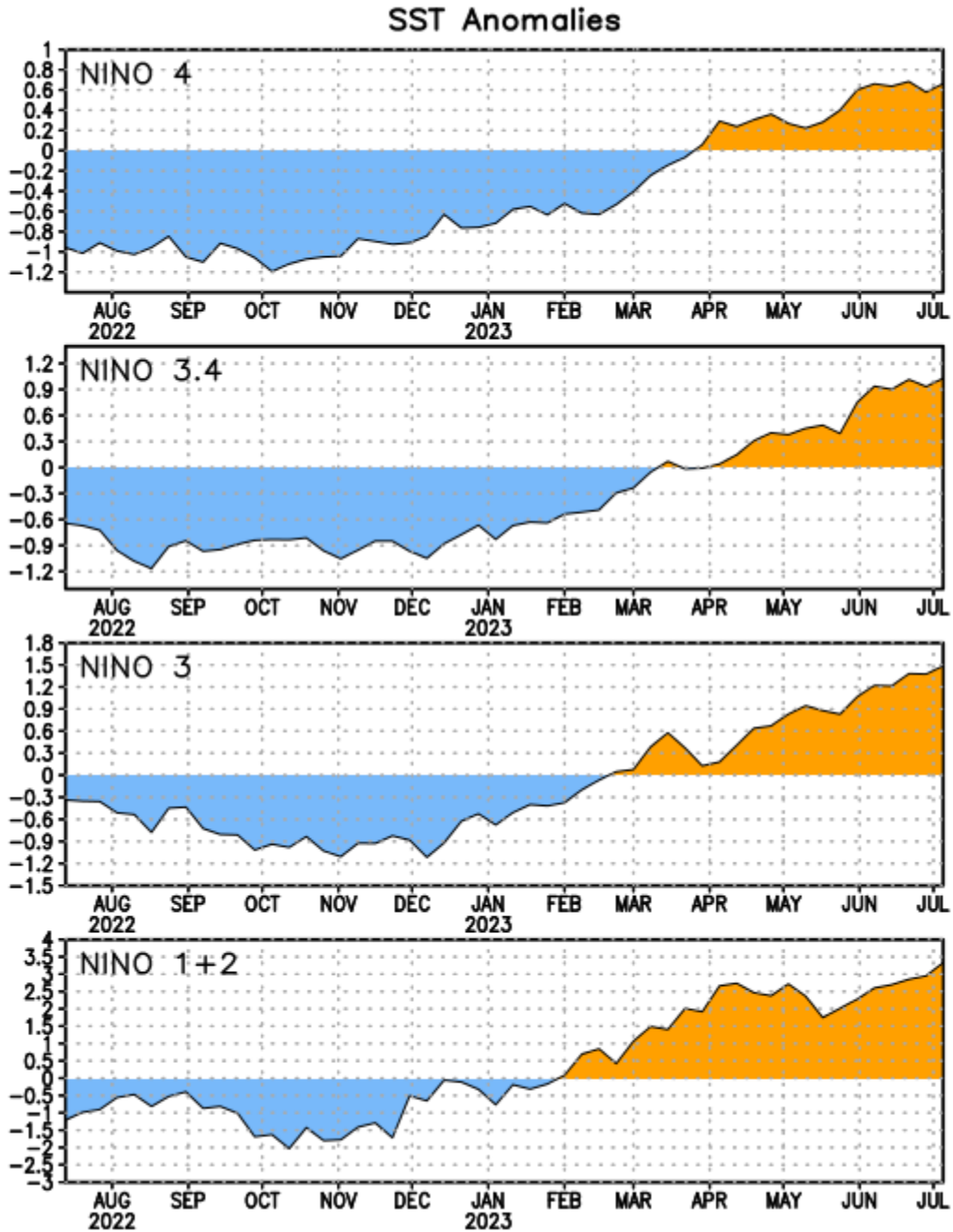


Figura 2. Series de Tiempo de las anomalías (en °C) de temperaturas de la superficie del océano (SST) en un área promediada en las regiones de El Niño [Niño-1+2 (0°-10°S, 90°W-80°W), Niño 3 (5°N-5°S, 150°W-90°W), Niño-3.4 (5°N-5°S, 170°W-120°W), Niño-4 (150°W-160°E y 5°N-5°S)]. Las anomalías de SST son variaciones de los promedios semanales del período base de 1991-2020.

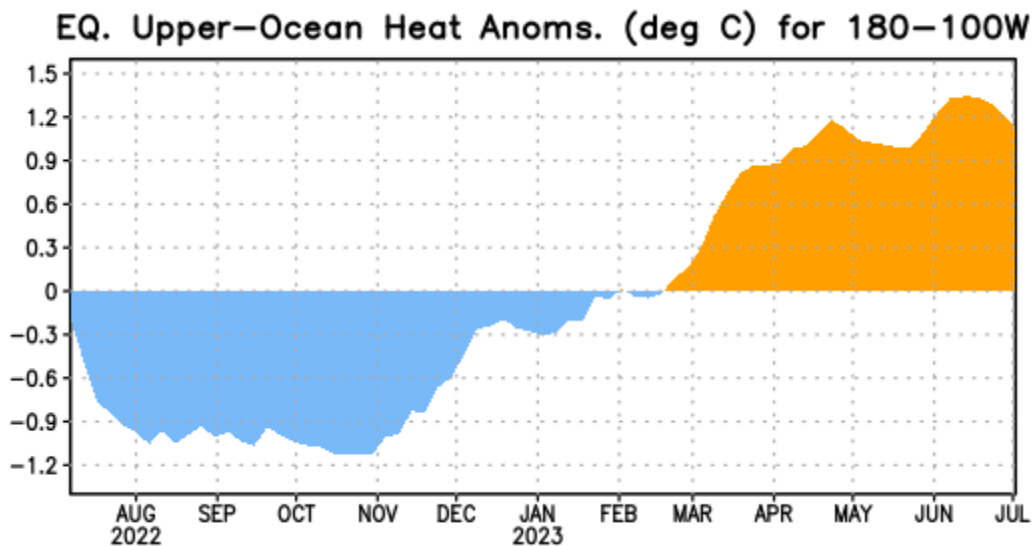


Figura 3. Anomalías del contenido calórico (en °C) en un área promediada del Pacífico ecuatorial (5°N-5°S, 180°-100°W). Las anomalías en el contenido calórico son calculadas como las desviaciones de los penta-promedios del período base de 1991-2020.

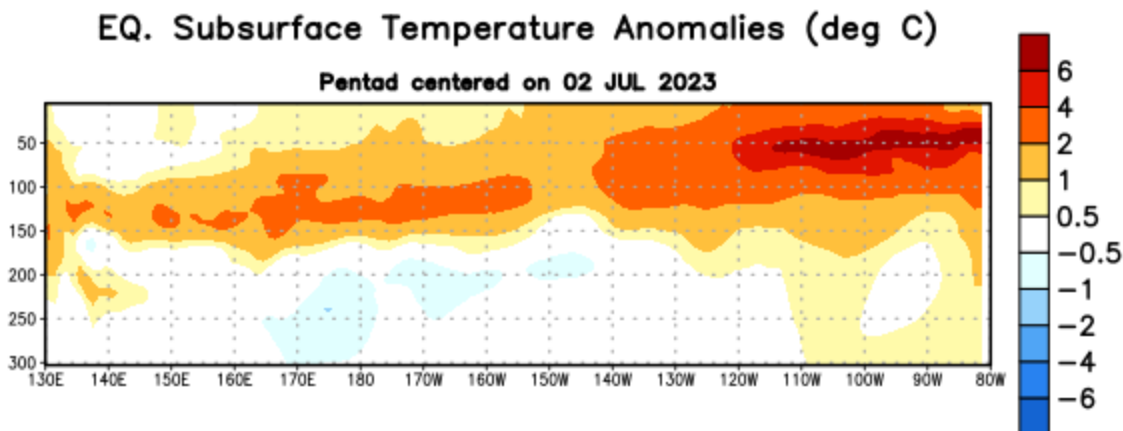


Figura 4. Anomalías de la temperatura (en °C) en un transecto de profundidad-longitudinal (0-300m) en la parte superior del océano Pacífico ecuatorial, centradas en la semana del 2 de julio de 2023. Las anomalías son variaciones a partir de los penta-promedios durante el periodo base de 1991-2020.

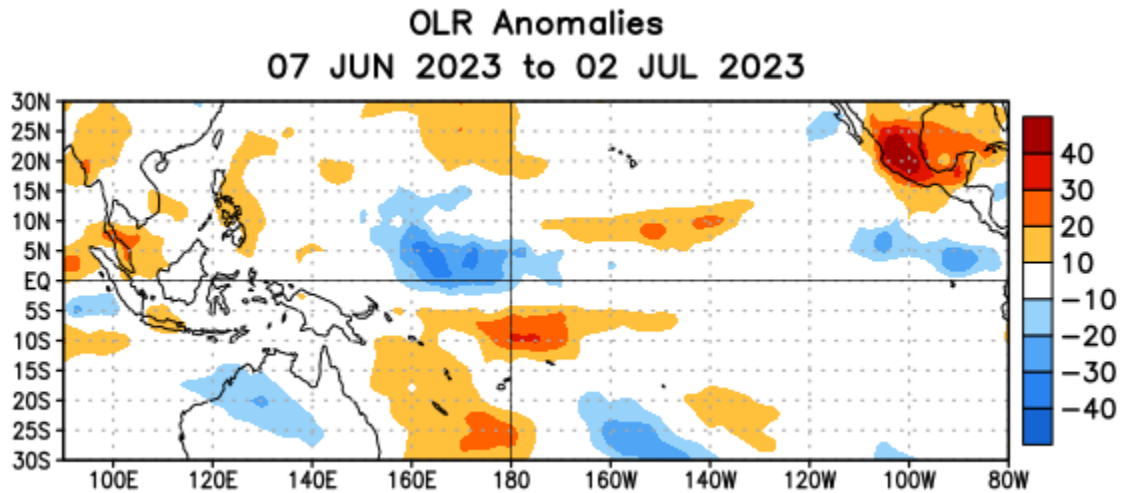


Figura 5. Anomalías del promedio de la radiación de onda larga emitida (OLR, por sus siglas en inglés) (W/m^2) durante el período del 7 de junio – 2 de julio de 2023. Las anomalías de OLR se calculan como desviaciones de los penta-promedios del período base de 1991-2020.

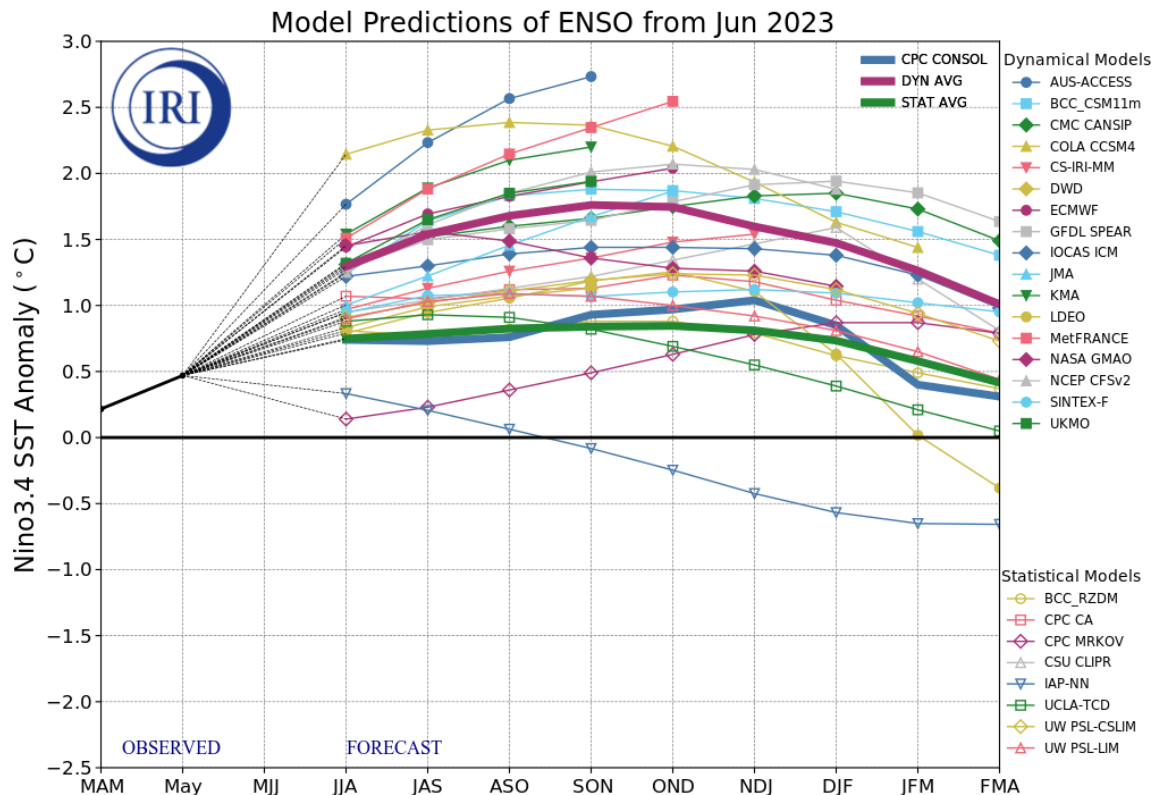


Figura 6. Pronósticos de las anomalías de la temperatura de la superficie del océano (SST) en la región de El Niño 3.4 ($5^{\circ}N-5^{\circ}S, 120^{\circ}W-170^{\circ}W$). Figura actualizada el 16 de junio de 2023 por el Instituto Internacional de Investigación (IRI, por sus siglas en inglés) para el Clima y la Sociedad.

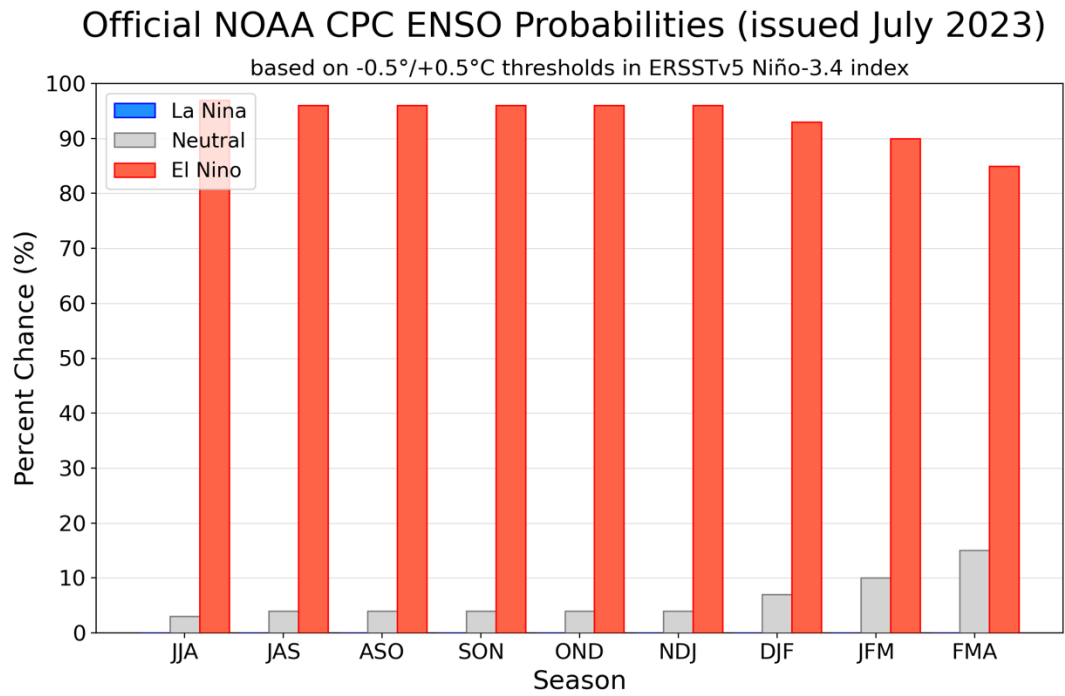


Figura 7. Probabilidades oficiales del ENSO para el índice de temperaturas de superficie oceánicas del Niño 3.4 (5°N - 5°S , 120°W - 170°W). Figura actualizada el 13 de julio de 2023.